

## 5. Modèles de dépendences

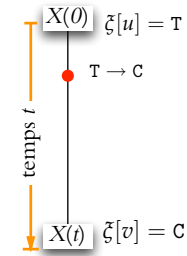
## Procéssus de Markov à temps continu

Le PMTC est un processus  $X(t)$  qui décrit les variables aléatoires au temps  $t \in [0, \infty)$ . Dans le contexte d'ADN, l'évolution entre le nœud parent  $u$  et l'enfant  $v$  suit un PMTC  $X(t) \in \{A, C, G, T\}$  : on lance le processus avec  $X(0) = \zeta[u]$  (l'étiquette de  $u$ ), et on met  $\zeta[v] = X(t)$  où  $t$  dénote la longueur de l'arête  $uv$ . On a alors la matrice de probabilités conditionnelles

$$\begin{aligned} \mathbf{M}(t) &= \left[ \mathbb{P} \left\{ \zeta[v] = j \mid \zeta[u] = i \right\} : i, j = A, C, G, T \right] && (\text{substitutions } i \rightarrow j \text{ sur arête } uv) \\ &= \begin{bmatrix} p_{A \rightarrow A}(t) & p_{A \rightarrow C}(t) & p_{A \rightarrow G}(t) & p_{A \rightarrow T}(t) \\ p_{C \rightarrow A}(t) & p_{C \rightarrow C}(t) & p_{C \rightarrow G}(t) & p_{C \rightarrow T}(t) \\ p_{G \rightarrow A}(t) & p_{G \rightarrow C}(t) & p_{G \rightarrow G}(t) & p_{G \rightarrow T}(t) \\ p_{T \rightarrow A}(t) & p_{T \rightarrow C}(t) & p_{T \rightarrow G}(t) & p_{T \rightarrow T}(t) \end{bmatrix} \\ &= \exp(\mathbf{Q}t) && (\mathbf{Q} \text{ est la matrice de taux instantané}) \end{aligned}$$

où l'exponentiation<sup>1</sup> matricielle dénote la somme infinie

$$\exp(\mathbf{Q}t) = \begin{bmatrix} 1 & 0 & 0 & 0 \\ 0 & 1 & 0 & 0 \\ 0 & 0 & 1 & 0 \\ 0 & 0 & 0 & 1 \end{bmatrix} + \mathbf{Q}t + \frac{(\mathbf{Q}t)^2}{2} + \frac{(\mathbf{Q}t)^3}{3!} + \dots = \sum_{k=0}^{\infty} \frac{(\mathbf{Q}t)^k}{k!}.$$



<sup>1</sup> à l'analogie de la série Taylor  $e^{qt} = \sum_{k=0}^{\infty} \frac{(qt)^k}{k!}$

Modèle de Jukes-Cantor. La matrice de taux

$$\mathbf{Q} = \begin{bmatrix} -1 & 1/3 & 1/3 & 1/3 \\ 1/3 & -1 & 1/3 & 1/3 \\ 1/3 & 1/3 & -1 & 1/3 \\ 1/3 & 1/3 & 1/3 & -1 \end{bmatrix} \quad \text{donne} \quad p_{i \rightarrow j}(t) = \begin{cases} \frac{1}{4} + \frac{3}{4}e^{-4t/3} & \{i = j\} \\ \frac{1}{4} - \frac{1}{4}e^{-4t/3} & \{i \neq j\} \end{cases}$$

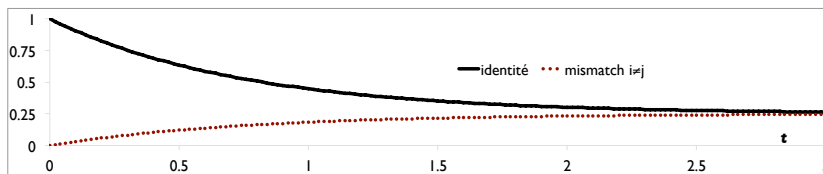


FIG. 1: Probabilités  $p_{i \rightarrow j}(t)$  dans le modèle Jukes-Cantor.

Noter qu'à  $t = 0$  (arête de longueur nulle), on a

$$\mathbb{P} \left\{ X(0) = i \mid X(0) = i \right\} = 1, \text{ et}$$

$$\lim_{t \rightarrow \infty} p_{i \rightarrow j}(t) = \lim_{t \rightarrow \infty} \mathbb{P} \left\{ X(t) = j \mid X(0) = i \right\} = 1/4 \quad \text{pour tout } i, j = A, C, G, T.$$

Modèle F84/HKY. Le modèle de Felsenstein (1984) ou Hasegawa-Kishino-Yano (1985) s'écrit avec une matrice de taux

$$Q = \begin{bmatrix} \cdot & \pi_C \alpha & \pi_G \beta & \pi_T \alpha \\ \pi_A \alpha & \cdot & \pi_G \alpha & \pi_T \beta \\ \pi_A \beta & \pi_C \alpha & \cdot & \pi_T \alpha \\ \pi_A \alpha & \pi_C \beta & \pi_G \alpha & \cdot \end{bmatrix} \quad (\text{somme est } 0 \text{ dans toute rangée})$$

défini mène à la composition stationnaire  $\lim_{t \rightarrow \infty} \mathbb{P}\{X(t) = i\} = \pi_i$  et un rapport de taux transition : transversion  $\kappa = \frac{\beta}{\alpha}$ .

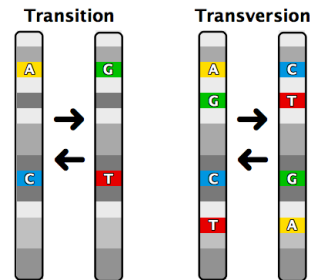
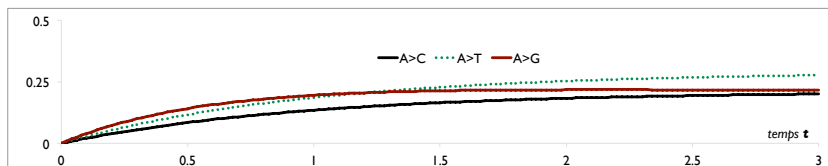


FIG. 2: Transitions et transversions  
 FIG. 3: Probabilités  $p_{i \rightarrow j}(t)$  dans le modèle F84 pour GC% = 42% ( $\pi_A = p_{i_T} = 0.29$ ,  $\pi_C = \pi_G = 0.21$ ) et  $\kappa = 2$ . On a  $p_{A \rightarrow C} = 0.21(1 - e^{-t/0.9744})$ ,  $p_{A \rightarrow T} = 0.29(1 - e^{-t/0.9744})$ , et  $p_{A \rightarrow G} = 0.21(1 + e^{-t/0.9744} - 2e^{-t/0.6496})$ .

*Multiplication.* On a que  $\mathbf{M}(t) \cdot \mathbf{M}(s) = \mathbf{M}(t+s)$  pour tout  $s, t \geq 0$ , et que  $\boldsymbol{\pi} \cdot \mathbf{M}(t) = \boldsymbol{\pi}$  avec la distribution stationnaire  $\boldsymbol{\pi}$ .

### Segmentation

*Segmentation par blocs maximaux.* On a une séquence de scores  $a[1..\ell]$  avec  $a[j] \in \mathbb{R}$  (peut être négatif ou positif). On pénalise un bloc  $j..j+k-1$  par la somme  $a[j] + a[j+1] + \dots + a[j+k-1]$ . Bloc de score maximal par programmation dynamique :  $S \leftarrow 0$ , et faire  $S \leftarrow \max\{0, S + a[j]\}$  avec  $j = 1, 2, \dots, \ell$ .

*Modèle de Markov caché.* Chaque colonne  $k = 1, \dots, \ell$  correspond à un état caché  $q[k] \in \mathcal{Q}$  : par exemple,  $\mathcal{Q} = \{\text{neutre}, \text{conservé}\}$ . Émission = résidues alignées  $x[k] = (x_1[k] \dots x_n[k])$  dans la colonne. Le modèle phylogénétique définit la probabilité  $p(i, x[k])$  pour la colonne est émise dans l'état  $i$ . La séquence d'états  $q[1..\ell]$  est au hasard avec  $\tau(i, j) = \mathbb{P}\{q[k+1] = j \mid q[k] = i\}$ . Quel est la séquence d'états la plus probable ou le **chemin Viterbi**? Pour cela on définit la vraisemblance du meilleur préfixe, ce qu'on peut calculer par programmation dynamique :

$$\delta_1(i) = \pi(i) \cdot p(i, x[1]) \quad (5.1a)$$

$$\delta_k(i) = \left( \max_{j \in \mathcal{Q}} \delta_{k-1}(j) \cdot \tau(j, i) \right) \cdot p(i, x[k]) \quad \{k > 0\} \quad (5.1b)$$

On reconstruit le *chemin Viterbi* qui correspond à  $\max_i \delta_\ell(i)$  par *backtracking* : il faut stocker le meilleur état qui précède  $j$ , ainsi que  $\delta_k(i)$  dans la récurrence de (5.1b).

p.e.,  $a[k] = \text{LODS}$  pour deux hypothèses.